

## PS40(CT22) 굴폐각을 이용한 석탄 연소시의 탈황

### Desulfurization in Coal Combustion by Oyster-Shell

한영란·김윤애·활원준·서성규

여수대학교 건설환경공학부

#### 1. 서 론

국내 해안에는 양식업에서 부산물로 다량 발생되는 굴, 홍합, 대합 등의 폐각들이 해안에 약적되어 연안어장의 오염, 공유수면 관리상의 지장, 자연경관의 훼손 및 보건 위생상의 문제 등으로 환경오염을 초래하고 있다(정종현 등, 1998). 현재 폐 폐각의 총발생량은 355,000톤 정도이며, 이 중 종묘채묘용으로 재사용되는 양을 제외하면, 토지개량제로서의 이용 등을 포함한 재활용율은 약 30%정도로 낮은 실정이다(굴수협전국조합, 1999). 더구나 처리비용이 비싸기 때문에 발생되는 폐 폐각은 대부분 방치되고 있는 실정이다. 이러한 이유로 최근까지 폐 폐각을 여러 용도로 재활용하기 위한 폐각의 특성 연구가 활발히 진행되고 있다. 특히 폐각은 석회석과 비슷하게 주성분이  $\text{CaCO}_3$ 로 구성(최주홍 등, 1999) 되어 있다. 이를 건조, 분쇄, 소성 등의 처리과정을 거쳐 여러 용도로의 사용이 가능하므로, 토지개량, 가축사료, 화학원료, 폐수처리 및 대기오염물질 배출 저감(서성규, 1996) 등의 용도개발과 재활용에 대한 연구가 계속 진행되고 있다. 본 연구에서는 우선 굴폐각의 물리화학적 특성을 조사하여 탈황제로서의 특성에 관하여 연구하였다. 석탄과 굴폐각 분말을 혼합하고, 혼합시의 Ca/S ratio, 굴폐각 입자크기, 반응온도 등에 따른 탈황효과를 조사하였으며, 굴폐각을 이용한 친환경적 숯불구이용 고체연료로의 활용 가능성성을 검토하였다.

#### 2. 연구 방법

본 연구에서 사용된 시료인 굴폐각과 석탄은 그 구성에 있어 균일한 분포를 가지고 있지 않으므로, 시료의 대표성과 정확한 분석을 위해 70mesh 이하로 분말화하여 사용하였다. 물리화학적 특성조사에 있어서 석탄에 대해서는 공업분석(MAC-500, Leco, USA), 원소분석(EA1110, CE Instruments, Italy), 발열량분석(Adiabatic Calorimeter 1281, Parr, USA), 유황분분석(SC-132, Leco, USA)을 실시하였으며, 굴폐각에 대해서는 BET(Flowsorb II, Shimadzu, Japan), XRD(CN4036AL, Rigaku, Japan), SEM(JSM-6300, Shimadzu, Japan) 분석 등을 수행하였다.

#### 3. 결과 및 고찰

Ca/S ratio의 결정과 연구 기초자료로의 활용을 위하여 석탄에 대한 물리화학적 특성을 분석하였다. Coal 2종과 Charcoal 3종의 분석 결과를 그림 1에서 그림 3까지 나타내었다. 업소용 열탄인 Charcoal I이 고정탄소와 발열량이 가장 높았으며, 유황분 함량은 석탄인 Coal II가 2.13%로서 가장 높았다.

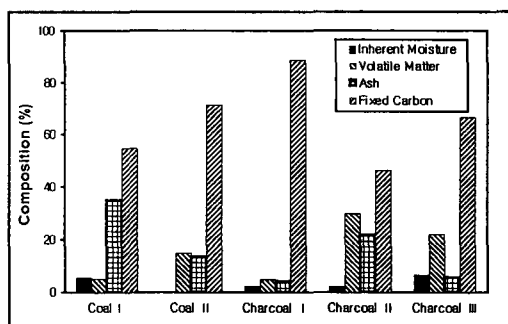


Fig. 1. The results of sample composition analysis(Air Dry Basis).

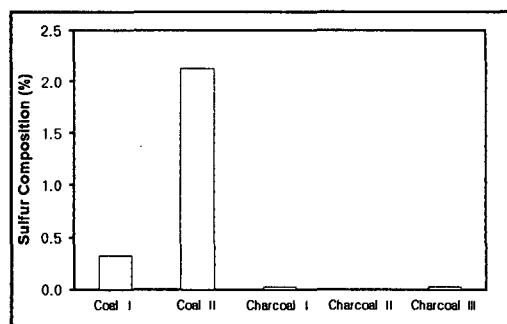


Fig. 2. The results of sample sulfur composition analysis.

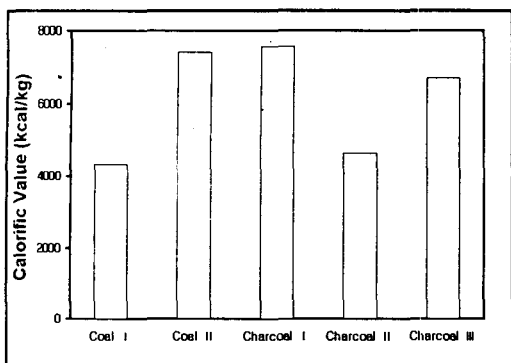


Fig. 3. The result of calorific value analysis.

표 1은 소성에 따른 굴폐각의 특성을 나타낸 것으로서 소성전 보다 소성후 평균 세공경이  $0.13\mu\text{m}$ 에서  $1.47\mu\text{m}$ 로 크게 증가가 되었으며, 비표면적은 감소하는 경향을 나타내고 있다.

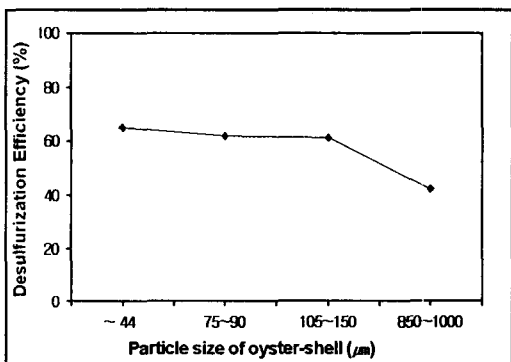


Fig. 4. The effect of particle size of oyster-shell in coal desulfurization.

Table 1. Characteristics of oyster-shell with calcination.

	Oyster Shell	
	Before Calcination	After Calcination
Specific Surface Area ( $\text{m}^2/\text{g}$ )	2.17	1.61
Pore Diameter( $\mu\text{m}$ )	0.13	1.47
Pore Capacity(cc/g)	0.24	0.43
Bulk Density(g/cc)	1.40	0.88
Porosity(%)	33.9	38.2

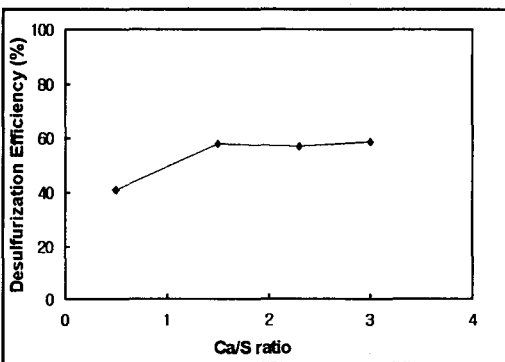


Fig. 5. The effect of Ca/S ratio in coal desulfurization.

그림 4에는 패각분말 입자크기에 따른 탈황효과를 나타내었다.  $90\mu\text{m}$ 이하의 패각분말인 경우는 분쇄에너지 소비량이 늘어나는 반면, 탈황율에는 별다른 변화가 없었으며,  $150\mu\text{m}$ 이상의 패각분말은 분쇄에너지 소비량은 줄어드는 반면 탈황율이 급격하게 감소하였다. 따라서 탈황율과 경제성을 고려한 가장 적절한 입도는  $90\sim150\mu\text{m}$ 정도로 생각된다. 그림 5는 Ca/S ratio에 따른 탈황효과를 나타낸 것으로 Ca/S ratio가 1.5이하인 경우에는 탈황율이 급격히 감소하였으며, 1.5이상인 경우에는 탈황율이 거의 일정함을 알 수 있다. 실험 범위내에서 탈황율과 발열량을 고려할 때 패각분말 입자의 크기는  $90\sim150\mu\text{m}$ 정도, Ca/S ratio는 1.5~3.0 정도가 가장 적절한 것으로 판단된다.

### 참 고 문 헌

- 정종현, 손병현, 조상원, 이형근, 오광중 (1998) 패각폐기물과 석회석을 이용한 흡수제 특성조사 및 소성 속도/수화반응을 측정에 관한 연구, 대한환경공학회 춘계 논문초록집, 247~248  
글수협전국조합 통계자료 (1999)  
최주홍, 김성수, 조상원, 조정구 (1999) 건식공정에서 소각로 배기가스 탈황을 위한 Oyster shell의 SO<sub>2</sub> 흡수특성 연구, 대한 환경공학회지, 21(3), 507~516  
서성규 (1996) 「패각분말을 포함하는 석탄 연료 조성물 및 제조」, 특허등록(등록번호:10-1999-0049771-19)